

диффузия никеля и железа затруднена, то превращение протекает по мартенситному (бездиффузионному) механизму, что и приводит к наибольшей степени упрочнения. Кроме того, при обработке на этих режимах достигается оптимальное соотношение неодиородности и насыщенности твердых растворов, что в совокупности с вышеперечисленными эффектами приводит к повышению твердости поверхностных слоев в 1,5-2 раза.

При малых энергиях излучения основную роль играет неодиородность твердого раствора, вследствие чего основные рефлексы никеля размываются, твердость понижается.

В случае преобладания насыщенности твердых растворов (при значительном сплавлении поверхности) рефлексы $Ni(Fe)$ слабо регистрируются (см.рис. 1, кривая 7; Рис. 2, кривая 6), увеличение содержания никеля в твердом растворе приводит к фиксации γ -твердого раствора - твердость поверхностных слоев не достигает оптимальных значений.

При введении в сплавленное лазерным излучением никелевое покрытие различных соединений (порошков $WC, TiC, TiK6, \alpha-BN, Mg$, графита и т.д.) за счет турбулентных процессов, возникающих под действием гидродинамических сил, наличия температурных градиентов они механически перемещиваются с покрытием. При этом на рентгенограммах фиксируются рефлексы сплавленных соединений [3]. Наряду с этим отмечается и взаимная диффузия в жидкой фазе с образованием твердых растворов. Эти рефлексы должны привести к повышению износостойкости облученных поверхностей, поскольку известно, что гетерогенные материалы в парах трения менее склонны к сквачиванию, чем гомогенные.

Таким образом, в результате проведенных исследований установлено, что изменения, вносимые лазерной обработкой на оптимальных режимах в структуру термообработанных покрытий, оказывают положительное влияние на их качество, адгезию к подложке, твердость, следовательно и триботехнические свойства.

Библиографический список

1. Бровер Г.И., Кацельсон Е.А., Трофимов Г.Е., Критин В.Д. Перспективы использования лазерного излучения для повышения качества гальванических и химических покрытий//Эффективные технологические процессы и оборудование для восстановления и упрочнения деталей машин. Пенза, 1991. С. 38.

2. Винников С.А. Химические и электротермомеханические способы осаждения металлокомпактов. М.: Машиностроение, 1975. ЗІС.

3. Бровер Г.И., Варакса В.Н., Кацельсон Е.А., Трофимов Г.Е., Критин В.Д. Получение композиционных покрытий на стальных с использованием лазерного излучения// Прогрессивные методы получения конструкционных материалов и покрытий, повышающих долговечность деталей машин. Волгоград, 1990. С. 4.

УДК 629.012.3:620.192.3:001.5

Ю.Н. Таран, В.П. Коудлов,
С.И. Губенко,
А.В. Сладковский,
О.А. Денидов
(ДМетИ, г. Днепропетровск)

ВЛИЯНИЕ КОНСТРУКЦИИ ОБОДА ЦЕЛЬНОКАТАНОГО ЖЕЛЕЗНОДОРОЖНОГО КОЛесА НА СТРУКТУРНЫЕ ИЗМЕНЕНИЯ В ПРИКОНТАКТНОЙ ЗОНЕ

В настоящее время одной из актуальных проблем железнодорожного транспорта, а значит и колесопрокатного производства, стала задача повышения износостойкости ободьев цельнокатанных железнодорожных колес. Острая данной проблемы обусловлена интенсивным износом гребней колесных пар, а следовательно повышенной частотой ремонтных переточек колес, в результате чего срок службы колесных пар уменьшается в 2-3 раза. Причиной такого явления стало повышение нагрузки на ось, применение композиционных колодок, повышение на ряде участков жесткости пути и твердости рельсовой стали и ряд других факторов. Износ железнодорожных колес сопровождается структурными изменениями, происходящими в тонком поверхностном слое ободьев. Эти изменения связаны с развитием пластических сдвигов от действия внешних нагрузок, тепловых напряжений при торможении, а также образованием "белых слоев" при нагреве тонкого поверхностного слоя в аустенитную область от тепла торможения и резкого охлаждения при отключении тормозов. Задача повышения надежности и долговечности колес связана с переходом на изготовление их из вакуумированного чугуна, а также с совершенствованием их конструкций, в том числе с разработкой оптимального профиля поверхности катания.

В результате многолетних исследований был разработан криволинейный профиль поверхности катания для вагонных колес /1/. Его отличие от стандартного плоскоконического профиля прежде всего в более плавном и непрерывном росте уклона от 1:20 по кругу катания до 67°30' на гребне. В основу разработки были положены статические исследования изношенных колес при различной величине проката по кругу катания. Проведено также моделирование контактного взаимодействия колес с различным профилем обода и рельсов. Изучены контактные напряжения, возникающие в контактной области при различном положении колесной пары относительно рельсовой колеи. Исследованы условия, обеспечивающие безопасность движения колес. Данная разработка, прежде чем войти в ГОСТ /1/, прошла всестороннюю отработку в условиях как промышленного, так и магистрального транспорта. Металлографические исследования стали одним из важных этапов работы, направленной на дальнейшее совершенствование цельнокатанных железнодорожных колес.

Исследованы колеса, проработавшие 5 лет под пассажирским составом. Колесо № 1 имело стандартный плоскоконический, колесо № 2 — криволинейный профиль поверхности катания. Химический состав стали исследованных колес приведен в табл. I. В результате ремонтных переточек был полностью удален термически обработанный слой.

Таблица I

Химический состав сталей исследованных колес

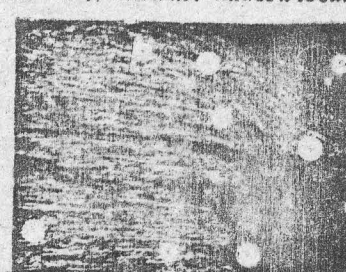
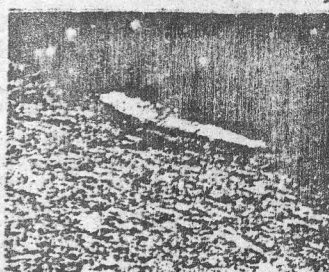
Номер колеса	Содержание элементов, об. %						
	C	Mn	Si	S	P	Cu	Ni
I	0,59	0,72	0,34	0,025	0,012	0,14	0,15
2	0,57	0,78	0,34	0,023	0,012	0,14	0,16

При визуальном осмотре колес на поверхности катания колеса № 1 обнаружены такие дефекты как ползун единичный, наволакивание металла, отслоения, наплы whole metal с поверхности катания на наружную боковую грань обода ("наплы на фаску"), усталостно-коррозионный износ. На поверхности катания колеса № 2 имеются участки коррозионного разрушения и небольшой прокат. В отличие от колеса № 1, у колеса № 2 не произошло явного искажения профиля колеса в процессе эксплуатации, так как нет грубо выраженного наплыва.

Из колес вырезали поперечные темплеты и в этом сечении изучили характер структуры колес по ширине обода. Микроструктурный ана-

лиз проводили на оптическом микроскопе "Neophot - 21". Определяли параметры структурной неоднородности стали (глубину зон с различной структурой, степень вытянутости зерен) /2/. Микротвердость стали в тонком поверхностном слое измеряли на приборе ТМТ-3 при нагрузке на индентер 50 Г. В каждой структурной зоне проводили 8-15 замеров. Результаты измерения параметров структуры и микротвердости обрабатывали статистическим методом. Плотность дислокаций в поверхностном слое определяли рентгеноструктурным анализом при записи рентгенограммы на рентгеновском дифрактометре ДРОН-2,0.

Микроструктура обоих колес вблизи поверхности катания характеризуется наличием зоны деформированных зерен и участков "белого слоя" (рисунок, а). Появление зоны деформированных зерен связано со смятием металла в контакте с рельсом от давления. Пластические



Микроструктура колесной стали вблизи поверхности катания:
а — "белого слоя"; б — деформированных зерен

сдвиги в тонком поверхностном слое прошли в условиях относительно высоких давлений и циклически изменяющейся температуры. Характер микроструктуры свидетельствует о неоднородной протекании пластической деформации по сечению обода. На периферии колеса зерна значительно вытянуты и измельчены, при выходе на поверхность катания зерна крупнее, степень вытянутости их несколько снижается и становится все меньше при подходе к середине поверхности катания. При удалении от середины поверхности катания к противогребневой боковой стороне степень вытянутости зерен вновь возрастает и становится значительной у края обода. Характер структуры в этой части поверхности катания свидетельствует о значительном течении стали в этой зоне, приведшем к изменению профиля колеса.

В зоне наплыва обнаружены расслоения, ориентированные параллельно поверхности катания. Как правило, они располагаются на гра-

нице между областями с резко различной микроструктурой и разделяет зоны вытянутых и равнососных зерен. Наплыв происходил постепенно, слоями, которые при своем смещении деформировались. При этом в них возникали хрупкие трещины, способствующие разрушению металла в слоях. На самом крае наплыва на боковую грань обода нависают лепестки с сильно деформированной структурой (рисунок, б). Они такие существуют с последним механизмом наплыва. Между этими слоями, а также между наплывшим металлом и боковой гранью видны трещины.

Глубина зоны деформированных зерен по ширине обода неодинакова (табл. 2). Наиболее глубоко пластическая деформация распространялась в месте выкружки гребня и в зоне наплыва у края обода. Степень вытянутости зерен позволяет судить о степени деформации стали в поверхностном слое обода. В зоне выкружки величины δ достигают 65-75% затем снижаются до 22-25% в середине поверхности катания и значительно возрастают (до 90%) в зоне наплыва. Характер изменения микротвердости аналогичен. Плотность дислокаций, определенная рентгеноструктурным методом, также неодинакова в различных местах поверхности катания (табл. 2).

Таблица 2

Значения величин степени вытянутости зерен δ , глубины зоны пластических сдвигов h и плотности дислокаций ρ_d в разных участках поверхности катания колес № I и № 2

Номер колеса	δ , %			h , мкм			ρ_d , см $^{-2}$		
	1	2	3	1	2	3	1	2	3
I	65-75	22-25	90	300	30	600	$9,22 \cdot 10^{11}$	$3,732 \cdot 10^9$	$9,604 \cdot 10^{11}$
2	60	10	70	180	20-40	420	$6,54 \cdot 10^{10}$	$6,41 \cdot 10^9$	$8,06 \cdot 10^{11}$

Участки "белого слоя" представляют собой бесструктурный материал (гарденит). Это хрупкая структурная составляющая, которая выкручивается в процессе работы колеса. Появляется "белый слой" вследствие нагрева тонкого поверхностного слоя от тепла трения до температуру выше A_3 и последующего резкого охлаждения после отпуска тормозных колодок. Ширина "белого слоя" составляет 20-40 мкм.

Характер микроструктуры первого колеса вблизи поверхности катания в направлении катания аналогичен рассмотренной выше для поперечного сечения, однако, степень вытянутости зерен в продольном направлении значительно выше. При изучении микроструктуры в плоскости катания обнаруживается сложный характер течения стали в поверхностном слое. По направлению зерен видно, что течение стали в зоне выкружки в центральной части поверхности катания носило ламинарный характер, в то время как в зоне наплыва есть области с изогнутыми и закрученными зернами, где течение стали носило явно вихревой турбулентный характер. Между зонами с различной ориентированной микротрещинами.

В поперечном сечении вблизи поверхности катания колеса № 2 также наблюдается зона вытянутых зерен, существующих с пластическими сдвигами, протекающими неравномерно. В зоне выкружки зерна вытянуты и измельчены, при выходе на поверхность катания степень вытянутости зерен снижается. При удалении от середины поверхности катания степень вытянутости зерен снова возрастает и становится значительной у края на очень небольшом расстоянии. У наружной боковой грани обода произошел небольшой микронаплыв, не приведший, однако к изменению профиля колеса.

Глубина зоны пластической деформации h у колеса № 2 значительно меньше, чем у колеса № I (см.табл. 2). Степень вытянутости зерен вблизи поверхности катания колеса № 2 меньше, чем у колеса № I (см.табл. 2). Эта разница составляет 10-20%, что связано с меньшими значениями контактных напряжений в случае криволинейного профиля поверхности катания. Обращает на себя внимание совсем незначительная степень деформации в средней части поверхности катания - 10%. Результаты рентгенографического определения плотности дислокаций показали, что их плотность по ширине обода изменяется, но остается из порядка меньше плотности дислокаций у колеса № I (см.табл. 2).

Глубина "белого слоя" в колесе № 2 составляет 20-60 мкм. Как и у колеса № I, он имеет прерывистый характер. Параметры "белого слоя" в обоих колесах близки, что объясняется близким составом сталей. Однако, в структуре "белого слоя" колеса № 2 имеются дисперсные цементитные частицы, кроме того, видны следы скольжения и микротрещины. "Белый слой" в процессе эксплуатации претерпел слабую пластическую деформацию, приведшую к его растрескиванию.

Характер микроструктуры колеса № 2 вблизи поверхности катания в плоскостях на продольных образцах, расположенных перпендикулярно

к поверхности катания аналогичен рассматренному выше для поперечного сечения обода. Микроструктура стали в плоскости катания характеризуется наличием равновесных зерен и пятен "белого слоя", лишь у бокового края обода зерна слегка вытянуты. В случае криволинейного профиля поверхности катания течение стали вблизи поверхности происходило таким образом, что зерна удлинялись в направлении ширины обода и катания и приобрели в результате гладкообразную форму, подобную форме зерен при прокатке стали.

Сравнительный анализ микроструктуры колес с криволинейным и плоскоконическим профилем поверхности катания показал, что структурные изменения – качественно – у них аналогичны и заключаются в образовании зоны пластической деформации и "белого слоя". Однако, параметры этих зон различны. Несмотря на кажущееся сходство характера зон пластических сдвигов, максимально выраженных в местах выкружки №1, можно, что уровень пластической деформации и глубина зоны, в которой она развивается, у второго колеса ниже, чем у первого. Пластические сдвиги в колесе №2 развивались в более мягком режиме, что связано с меньшими величинами контактных напряжений и соответствием профиля криволинейной поверхности катания характеру износа колес при эксплуатации.

Наплы у второго колеса практически отсутствуют, так как нет износа металла на боковую грани обода, приведшего к изменению профиля колеса №1. Кроме того, у колеса №2 нет в этой зоне таких грубых микротрешин, как у колеса №1.

Сравнительный анализ микроструктуры стали в плоскости катания показал, что в случае криволинейного профиля течение стали имело более спокойный характер, чем у колеса №1 с плоскоконическим профилем поверхности катания, где были зоны ячко выраженного "турбулентного" (вихревого) течения стали на микроуровне.

Результаты сравнительного металлографического анализа будут понятны, если их сопоставить с данными математического моделирования контактных напряжений при различном положении колесной пары относительно рельсовой колеи. В его основу было положено решение Г.Герца, т.е. колеса моделировались гладкими полубесконечными областями, в начальной точке контакта которых определялись локальные кривизны и затем определялись параметры контактной зоны и напряжений, действующих в ней. Сложнее обстояло в случае, когда существовали две зоны контакта. Здесь использовался итерационный алгоритм, где для нахождения зон задавалась осадка колеса, анализировались

обе зоны и из условия равновесия производилась корректировка зон. В результате моделирования определено, что контактные напряжения для криволинейного профиля существенно (до 25%) снижаются в зоне, прилегающей к кругу катания, что особенно характерно при взаимодействии нового колеса с изношенным рельсом. Это естественно приводит к уменьшению пластических деформаций в данной зоне и, следовательно, предотвращает неоднократное наволакивание металла на боковую грань.

Анализ расположения контактных зон для стандартного плоскоконического профиля показал, что до момента касания в зоне гребня существует одна контактная зона, локализованная в районе круга катания. Боковое усилие, действующее при этом на колесо незначительно. В момент касания гребня появляется вторая зона контакта с значительным уровнем пластических контактных напряжений. Именно ее наличием, высоким уровнем напряжений и большой динамикой боковой силы в процессе рисования колесной пары объясняются большие пластические изменения структуры металла в зоне выкружки, что в конечном счете и приводит к интенсивному износу гребней колесных пар. Главный рост боковой силы для криволинейного профиля и постепенное смещение контактной зоны от круга катания и выкружке позволяют уменьшить уровень пластических деформаций для колес с данным профилем.

Таким образом, результаты металлографических исследований колесной стали подтвердили вывод о несовершенстве плоскоконического профиля поверхности катания, способствующего неоднородному развитию пластических сдвигов в поверхностном слое и, как следствие, повышенному износу колес. Применение колес с криволинейным профилем приводит к уменьшению износа их гребней, что увеличивает межремонтный срок и повышает их долговечность. Косвенным выводом может быть также утверждение о том, что применение данных колес должно способствовать уменьшению интенсивности износа рельсов.

Библиографический список

1. ГОСТ 9036-88. Колеса цельнокатаные.
2. Салтыков С.А. Стереометрическая металлография. М.: Металлургия, 1976, 376с.

СОДЕРЖАНИЕ

Пустовойт В.Н. Об изменении условий фазовых равновесий под действием внешнего магнитного поля	4
Блиновский В.А. Термическая обработка как одна из проблем порошковой металлургии. Порошковые быстрорежущие стали	14
Жак К.М., Соколова Т.А. Влияние наследственной микронеоднородности на структурную неоднородность и трещинообразование в литой и деформированной стали	19
Русин П.И., Курдиков В.А., Берлин Г.А., Радченко А.Т., Осиновский М.Ю. Влияние исходной структуры на твердость закаленной графитизированной стали.	23
Бровер Г.И., Кацнельсон Е.А., Варавка В.Н., Логинов В.Т., Трофимов Г.Е., Кричин В.Д. Оптимизация режимов лазерной обработки гальванических никелевых покрытий на сталях	28
Таран Ю.Н., Есаулов В.П., Губенко С.И., Сладковский А.В., Демидова О.А. Влияние конструкции обода цельнокатаного железнодорожного колеса на структурные изменения в приконтактной зоне	35
Тарабанова В.П., Мищенко Л.Д., Миргородская Е.М., Дьяченко С.С. Влияние восстановительной термической обработки на свойства и структуру материала лопаток газовых турбин	42
Маматкулов Д.Д. Коробление инструментальных сталей при термической обработке	45
Симоненко А.Н., Порошин В.В., Фоменко Н.Л., Беспахов а О.М. Влияние процесса старения на обезлегирующую активность индукционной соляной ванны	46
Боосалько В.Н., Погребная Н.Э., Кировайдзе Н.С., Жак К.М. О возможности получения регламентированной зернистой структуры в горячекатанных трубах из стали 08Х18Н10Т	51
Кудряков О.В. Адаптация расчетного метода глубинного нагрева для импульсной обработки ТВЧ с концентрацией магнитного потока	55
Марников В.В. Влияние температуры на структуру свойства легированного полувинчатаого чугуна	62
Шевцов А.М., Бугаец М.П., Киричек О.М., Приходько А.И. Влияние низкотемпературного отжига на качество нержавеющих труб	66
Маматкулов Д.Д., Сергеев Ю.Г. Влияние предварительной закалки на деформации инструментальных сталей	70
Тарабанова В.П., Мищенко Л.Д., Миргородская Е.М., Дьяченко С.С. Характер структурных изменений, происходящих в материале лопаток газовых турбин в процессе эксплуатации	74
Таран Ю.Н., Есаулов В.П., Губенко С.И., Варавка В.Н., Полуянов В.А., Демидова О.А. О возможности лазерного упрочнения поверхности катания железнодорожных колес	75
Бровер Г.И., Бабичев И.А., Кацнельсон Е.А. Влияние ППД на эффективность проведения лазерной закалки и легирования инструментальных сталей	81
Гриценко С.В., Сергеенко С.Н. Исследование кинетики размола бронзовой стружки в аттриторах	89
Вернигоров Ю.М., Биткина Н.С., Егорова С.И., Наследников Ю.М., Поздняков В.В. Текущесть тонкодисперсных магнитокипящих порошков сплава КС-37 . .	93
Егорова С.И., Лемешко Г.Ф., Соколов Н.П. Бесситовое разделение порошков магнитных материалов по размерам . .	97
Дорофеев В.Ю., Миргородский И.В., Плющев А.В. Бездефектный способ формообразования изделий сложной формы из порошковых материалов при горячей деформации	100
Вернигоров Ю.М., Биткина Н.С., Гасанов Б.Г., Наследников Ю.М. Технологическая схема получения анизотропных магнитов методом резонансного текстурирования	102
Бондаренко А.В., Семенченко С.А. Обработка порошка, полученного в двухслойной ванне	107
Дорофеев Ю.Г., Гусейнов Ш.С., Симилейский И. Условия бездефектного формования порошковых заготовок высшей степени сложности	III
Науменко А.А., Радикайнен Л.М., Бондаренко А.В. Анодный материал из железных руд и концентратов, подвергнутых восстановительной обработке	II4

Овчинников В.И., Федосиенко С.С.	
Упрочнение металлообрабатывающего инструмента с использованием высококонцентрированного индукционного нагрева	118
Дорофеев Д.Г., Устименко В.И., Иванов С.А. Изменение химического состава порошка при получении горячештампованного железа	121
Овчинников В.И. Технология упрочнения поршневых колец с использованием индукционного нагрева ТВЧ	122
Гасанов Б.Г., Стопченко А.Д., Бабец А.В., Кулаков В.В. Циклическая и изотермическая термомагнитная обработка дисперсионно-твердящих сплавов на основе	129
Ананченко В.Н., Головкин В.В. К оценке качества термической обработки	136
Деревянных А.П., Ютишев А.С. Разработка метода бездефектной осадки порошковых заготовок из малопластичных материалов	137
Халиков П.Л. Влияние термоциклической обработки на износостойкость восстановленных бронзированием деталей	141
Содержание	144

ТЕРМИЧЕСКАЯ ОБРАБОТКА СТАЛИ
(Теория, технология, техника эксперимента)

Межвузовский сборник научных трудов

Редактор О.А. Водолазова

Свод.тем.пл. 1992, поз. 662

Подписано к печати 3 11.92. Бумага тип № 3.
Формат 60x84/16. Офсет. Объем 8,4 усл.п.л., 8,0 уч-изд.л.
Заказ 355 Тираж 150. Цена 48р.

Редакционно-издательский отдел РИСХМа.
Отпечатано в лаборатории офсетной печати РИСХМа.
Адрес института и полиграфического предприятия:
Ростов-на-Дону, пл. Гагарина, 1.